

Análise do desempenho de sistemas computacionais a partir da base SPEC CPU 2017: um estudo introdutório dos resultados de speed-int

Autores: David Kauan Carneiro Pereira (25103306)¹, Gustavo Sonntag Dorow (25100806)¹, Johan Akin Araújo da Silva Rodrigues (25103312)¹, Jonathan Tenório de Lima (25102233)¹.

¹ Universidade Federal de Santa Catarina (UFSC), Departamento de Informática e Estatística (INE), Graduação em Sistemas de Informação, <secdavidka@gmail.com>, <gustavosdorow@gmail.com>, <johanwrodrigues@gmail.com>, <jtlimads@gmail.com>.

Introdução e objetivos

O custo decrescente dos componentes dos sistemas computacionais, em especial os processadores, permitiu uma contínua e intensa evolução no desempenho das máquinas perante algoritmos que resolvem problemas cada vez mais complexos. Os blocos construtores (building blocks) dos computadores modernos são virtualmente os mesmos que deram origem ao IAS, no entanto, as técnicas para extrair o máximo desempenho tornaram-se altamente sofisticadas (STALLINGS, 2021).

A microarquitetura de um sistema computacional compreende o conjunto de implementações internas de um processador que definem como as instruções (ISA) são executadas no nível de hardware e, por isso mesmo, possui papel chave no desempenho dos computadores. Os benchmarks possuem papel fundamental na evolução contínua da microarquitetura dos sistemas e compiladores (LIMAYE; ADEGBIJA, 2018).

Um dos benchmarks mais utilizados globalmente é fornecido pela *Standard Performance Evaluation Corporation* (Standard Performance Evaluation Corporation (SPEC), 2024), cuja última versão (SPEC CPU 2017) avaliou 43 *benchmarks* diferentes conforme a tabela 1.

Tabela 1: Comparação entre SPECspeed® e SPECrate®.

| Descrição | SPECspeed®2017 | SPECrate®2017 |
|------------------|--------------------------------------------------------------|---------------------------------------------------------------------------------|
| Medição | Desempenho de execução de um programa com núcleo único (CPU) | Quantas tarefas o sistema inteiro consegue executar de uma vez |
| Foco | Velocidade de uma única tarefa (ou thread) | Taxa de transferência ou performance paralela (<i>parallel performance</i>) |
| Caso de uso | Bom para aplicações que executam um trabalho por vez | Aplicações que executam muitas tarefas simultaneamente |
| Como é executado | Executa uma cópia de cada programa em um único núcleo | Executa muitas cópias de cada programa usando todos os <i>cores</i> disponíveis |
| Pontuação | Quanto mais elevada, menos tempo de execução é necessário | Quanto maior, mais trabalho pode ser realizado por unidade de tempo |
| Desempenho | Duração em uma máquina de referência ÷ duração no SUT | Número de cópias × (Duração em uma máquina de referência ÷ duração no SUT) |

Fonte: Adaptado de Standard Performance Evaluation Corporation (SPEC) (2024).

O SPEC 2017 é dividido em **speed**, que mede o desempenho dos computadores na execução de uma tarefa única a partir de um CPU de núcleo *core* singular; enquanto o **rate** mede o desempenho para múltiplas tarefas utilizando todos os *cores* disponíveis no CPU. Para cada um destes, existem *benchmarks* específicos para inteiros (*int*) e números de ponto flutuante (*float*). O primeiro caso está fortemente relacionado com a disciplina de "Arquitetura e Organização de Computadores" ministrada para o curso de Sistemas de Informação e, por isso, será utilizado como a base de dados deste trabalho. A tabela 2 apresenta um resumo das aplicações.

Tabela 2: Benchmarks do SPECspeed®2017 Integer.

| Benchmark | Linguagem | KLOC* | Área de Aplicação |
|-----------------|-----------|-------|------------------------------------------------------------------|
| 600.perlbench_s | C | 362 | Interpretador Perl |
| 602.gcc_s | C | 1.304 | Compilador GNU C |
| 605.mcf_s | C | 3 | Planejamento de rotas |
| 620.omnetpp_s | C++ | 134 | Simulação de eventos discretos de redes |
| 623.xalancbmk_s | C++ | 520 | Conversão XML → HTML via XSLT |
| 625.x264_s | C | 96 | Compressão de vídeo |
| 631.deepsjeng_s | C++ | 10 | Inteligência artificial: busca em árvore alpha-beta (xadrez) |
| 641.leela_s | C++ | 21 | Inteligência artificial: busca Monte Carlo em árvore (Go) |
| 648.exchange2_s | Fortran | 1 | Inteligência artificial: gerador de soluções recursivas (Sudoku) |
| 657.xz_s | C | 33 | Compressão geral de dados |

*KLOC = número de linhas (incluindo comentários e espaços em branco) para os *source files* usados no *build* / 1000.

Fonte: adaptado de Standard Performance Evaluation Corporation (SPEC) (2024).

O desempenho dos sistemas computacionais para os problemas de *speed-int* é medido a partir da relação entre o tempo de execução em uma máquina padrão, definida pela SPEC, e o sistema sob teste como na equação 1.

$$P = \frac{T_{ref}}{T_{sut}} \quad (1)$$

em que P é a pontuação (desempenho), T_{ref} é a duração de execução na máquina de referência e T_{sut} é a duração de execução no sistema sob teste.

Os resultados do SPEC são apresentados como médias geométricas dos testes realizados em cada sistema. Segundo Triola (2021, p. 103), a média geométrica (equação 2) é frequentemente utilizada nas áreas de negócios e economia para calcular a taxa média de mudança de uma variável; sendo, portanto, adequada em estudos de *benchmarking*.

$$MG = \left(\prod_{i=1}^n x_i \right)^{\frac{1}{n}} \quad (2)$$

O objetivo do presente trabalho é realizar uma análise estatística da base de dados do SPEC CPU 2017 para os resultados de testes de desempenho do tipo *speed-int*. Este propósito pode ser detalhado em objetivos específicos como a seguir:

- Calcular as estatísticas descritivas para as variáveis da base de dados e extrair informações pertinentes.
- Comparar os resultados de desempenho (pontuação) para os sistemas computacionais na condição em que são vendidos pelas fabricantes (*base*) com a condição de otimização da microarquitetura (*peak*).
- Avaliar a evolução temporal do desempenho (pontuação) desses sistemas para os principais fabricante/vendedores.
- Avaliar se existe alguma relação potencial entre a pontuação de desempenho e os elementos de arquitetura dos sistemas como tamanho das memórias cache (L1, L2, L3) e a frequência do processador.

Materiais e métodos

Toda a análise estatística conduzida neste trabalho foi realizada com a linguagem R utilizando o software RStudio® versão 2025.09.0+387 (Posit, 2025).

O dataset do SPECspeed Int 2017 é um arquivo .CSV constituído por 55 colunas e 9850 linhas. As variáveis incluem "Hardware vendor"(vendedor do computador/sistema), "System"(descrição do sistema), "# Cores"(número de núcleos), "#Chips"(número de chips), "Processador", dados das caches (L1, L2, L3), "Memory"(configuração da memória principal), "Storage"e as pontuações de desempenho para cada um dos *benchmarks* da tabela 2, nas condições *base* e *peak*. A tabela 3 apresenta um resumo das informações.

Tabela 3: Descrição das variáveis do dataset SPECspeed@2017 Integer.

| Variável | Tipo | Unidade | Descrição |
|----------------------------|-----------------------|----------|--------------------------------------------------------------------|
| Benchmark | Categórica | – | Nome do <i>suite</i> individual do conjunto SPECspeed@2017 Integer |
| Hardware Vendor | Categórica | – | Identifica o fabricante/vendedor do hardware |
| System | Categórica | – | Contém uma descrição do sistema segundo o vendedor |
| # Cores | Quantitativa discreta | unidades | Número de núcleos (<i>cores</i>) do CPU |
| # Chips | Quantitativa discreta | unidades | Número de chips do processador |
| # Enabled Threads Per Core | Quantitativa discreta | unidades | Número de tarefas por núcleo |

Continua na próxima página

Tabela 3 – continuação da página anterior

| Variável | Tipo | Unidade | Descrição |
|-------------------------------------------------------|-----------------------|----------------|-------------------------------------------------------------------------|
| Processador (MHz) | Quantitativa contínua | MHz | Frequência de operação do processador |
| CPU(s) Orderable | Qualitativa ordinal | unidades | Indica o número de chips ordenáveis do CPU |
| Parallel | Categórica nominal | Yes/No | Informa se a execução paralela é permitida |
| Base Pointer Size | Quantitativa discreta | bits | Refere-se ao tamanho do ponteiro base |
| Peak Pointer Size | Quantitativa discreta | bits | Refere-se ao tamanho do ponteiro peak |
| 1st Level Cache | Quantitativa discreta | kB | Tamanho da memória cache L1 |
| 2nd Level Cache | Quantitativa discreta | kB | Tamanho da memória cache L2 |
| 3rd Level Cache | Quantitativa discreta | kB | Tamanho da memória cache L3 |
| Other Cache | Categórica nominal | – | Informa a presença de outra memória cache |
| Memory | Quantitativa contínua | GB | Tamanho da memória principal |
| Storage | Quantitativa contínua | GB | Tamanho da unidade de armazenamento não volátil |
| Operating System | Categórica nominal | – | Descrição do sistema operacional |
| File System | Categórica nominal | – | Sistema de arquivos |
| Compiler | Categórica | – | Informa o(s) compilador(es) usado(s) |
| HW Avail | Categórica | data | Informa a data em que o hardware foi disponibilizado |
| SW Avail | Categórica | data | Informa a data em que o software foi disponibilizado |
| Result | Quantitativa contínua | – | Média geométrica de todos os valores de desempenho |
| Baseline | Quantitativa contínua | – | Média geométrica de todos os valores de desempenho para a condição base |
| 600, 602, 605, 620, 623, 625, 631, 641, 648, 657 Base | Quantitativa contínua | – | Pontuação de desempenho para cada benchmark na condição base |
| 600, 602, 605, 620, 623, 625, 631, 641, 648, 657 Peak | Quantitativa contínua | – | Pontuação de desempenho para cada benchmark na condição peak |

Continua na próxima página

Tabela 3 – continuação da página anterior

| Variável | Tipo | Unidade | Descrição |
|-----------------|-----------------------|----------------|----------------------------------------------------------|
| License | Categórica | – | Número/código da licença |
| Tested by | Categórica | – | Nome da instituição responsável pela execução dos testes |
| Test Sponsor | Categórica | – | Nome da instituição que patrocinou a execução dos testes |
| Test Date | Quantitativa discreta | data | Data em que os testes foram realizados |
| Published | Quantitativa discreta | data | Data em que os testes foram publicados |
| Updated | Quantitativa discreta | data | Data em que os testes foram atualizados |
| Disclosure | Categórica | – | Informa o endereço web para consulta |

Por simplicidade, os títulos das variáveis da tabela 2 foram abreviados apenas pelo número 9código) indexador, anterior ao ponto de cada string. Essa decisão foi tomada, pois não existe risco de erro, devido a unicidade de cada índice.

Duas variáveis são derivadas das pontuações de desempenho, "Baseline" e "Result". A primeira calcula a média geométrica de todas as pontuações da mesma linha, independentemente do *benchmark*. A segunda calcula a média geométrica de todas as pontuações, incluindo *base* e *peak*.

Os dados ausentes (*missing data*) são representados por *default* como 0.0. Como a variável "Result" possui um escopo mais abrangente, foi utilizada como parâmetro para determinar quais linhas seriam excluídas da base de dados. Esse processo previne a ocorrência de visões não desejadas, como a redução das estimativas para variáveis que possuem muitos valores nulos.

Após a remoção dos valores nulos, ainda restaram 6966 instâncias, população mais que suficiente para permitir inferências em relação à população, como propõe Magalhães e Lima (2025, p. 246). Como o novo dataset foram calculadas as medidas-resumo para atender ao objetivo específico 1. Os valores foram calculados com duas casas decimais, respeitando o limite de algarismos significativos reportados (KOUNEV; LANGE; KISTOWSKI, 2020).

Em seguida foram gerados os gráficos de box-plot para as variáveis de desempenho nas condições *base* e *peak*. Também foram produzidos gráficos que mostram a evolução do desempenho (pontuação) ao longo do tempo. Por fim, foram gerados gráficos de dispersão para analisar potenciais relações entre o desempenho e os componentes da arquitetura dos sistemas como memória cache e processador. O script em R completo utilizado pode ser consultado no Anexo.

O impacto produzido pela otimização da microarquitetura no desempenho desses sistemas pode ser calculado supondo que o tempo de duração da execução do algoritmo na máquina de referência seja o mesmo para ambas as condições (*base* e *peak*), então, a relação entre as duas durações pode ser obtida pela equação 3.

$$\frac{T_{SUT}^O}{T_{SUT}} = \frac{P}{P_O} \quad (3)$$

em que T_{SUT}^O é a duração da execução do algoritmo i para o sistema otimizado e P_O é a pontuação de desempenho respectiva.

Resultados e discussões

A tabela 4 resume as estatísticas descritivas e medidas de posição para as variáveis do estudo. Os resultados mostram que não existe um comportamento padrão para as variáveis. Por isso, faz-se necessário analisar caso a caso.

Os valores de média e mediana são próximos, em qualquer *benchmark* para as condições base e peak, com algumas exceções como '600', '623' e '625', onde ocorre diferença absoluta de até 0.96 (medianas '600').

Em geral, a proximidade entre média e mediana sugere que a média é também representativa da posição da distribuição dos dados. A varância e o desvio-padrão são maiores para *benchmarks* cujas média e mediana são também maiores quando comparadas às outras variáveis de desempenho, como ocorre para '605', '623', '625', '648' e '657'.

Tabela 4: Estatísticas descritivas dos benchmarks do SPECspeed® 2017 Integer.

| Benchmark | Média | Mediana | Variância | Desvio-padrão | Q25 | Q75 | Mín | Máx |
|-------------------|----------|----------|-----------|---------------|----------|-----------|---------|------------|
| 600 base | 7.66 | 7.10 | 4.48 | 2.12 | 6.21 | 9.37 | 1.34 | 14.90 |
| 600 peak | 8.46 | 8.06 | 4.21 | 2.05 | 7.35 | 10.10 | 1.63 | 15.50 |
| 602 base | 11.32 | 10.80 | 7.70 | 2.78 | 9.40 | 12.70 | 2.44 | 22.10 |
| 602 peak | 11.63 | 11.30 | 7.76 | 2.79 | 9.60 | 13.30 | 2.55 | 22.10 |
| 605 base | 18.24 | 19.50 | 38.26 | 6.19 | 12.00 | 22.80 | 4.40 | 36.40 |
| 605 peak | 18.44 | 19.50 | 39.91 | 6.32 | 12.00 | 22.90 | 4.40 | 38.20 |
| 620 base | 8.94 | 8.87 | 8.92 | 2.99 | 6.44 | 11.50 | 2.32 | 22.40 |
| 620 peak | 8.98 | 8.92 | 8.75 | 2.96 | 6.50 | 11.50 | 2.32 | 22.40 |
| 623 base | 15.54 | 13.50 | 48.68 | 6.98 | 9.72 | 19.00 | 2.82 | 35.20 |
| 623 peak | 16.03 | 13.60 | 51.39 | 7.17 | 10.30 | 20.20 | 2.82 | 38.90 |
| 625 base | 17.54 | 16.90 | 34.50 | 5.87 | 12.30 | 22.00 | 3.44 | 37.60 |
| 625 peak | 17.93 | 17.40 | 37.34 | 6.11 | 12.50 | 22.80 | 3.56 | 37.80 |
| 631 base | 6.22 | 6.04 | 1.82 | 1.35 | 5.17 | 7.24 | 1.27 | 10.80 |
| 631 peak | 6.22 | 6.04 | 1.82 | 1.35 | 5.15 | 7.24 | 1.27 | 10.80 |
| 641 base | 5.18 | 4.99 | 1.17 | 1.08 | 4.34 | 5.96 | 0.98 | 8.78 |
| 641 peak | 5.18 | 4.99 | 1.18 | 1.09 | 4.35 | 5.96 | 0.98 | 8.78 |
| 648 base | 20.69 | 19.40 | 54.73 | 7.40 | 14.10 | 26.00 | 3.45 | 47.10 |
| 648 peak | 20.68 | 19.40 | 55.27 | 7.43 | 14.10 | 26.00 | 3.45 | 47.20 |
| 657 base | 22.30 | 23.20 | 27.87 | 5.28 | 20.20 | 25.80 | 2.42 | 38.00 |
| 657 peak | 22.43 | 23.20 | 27.60 | 5.25 | 20.30 | 25.80 | 2.42 | 39.10 |
| Processador (MHz) | 2622.50 | 2500.00 | 3.37e+05 | 5.80e+02 | 2100.00 | 3000.00 | 1700.00 | 4700.00 |
| Cache L1 (kB) | 33.12 | 32.00 | 3.46e+01 | 5.88 | 32.00 | 32.00 | 32.00 | 64.00 |
| Cache L2 (kB) | 1126.57 | 1024.00 | 3.33e+05 | 5.77e+02 | 1024.00 | 2048.00 | 256.00 | 4096.00 |
| Cache L3 (kB) | 97639.45 | 38400.00 | 1.96e+10 | 1.40e+05 | 22528.00 | 107520.00 | 2048.00 | 1179648.00 |

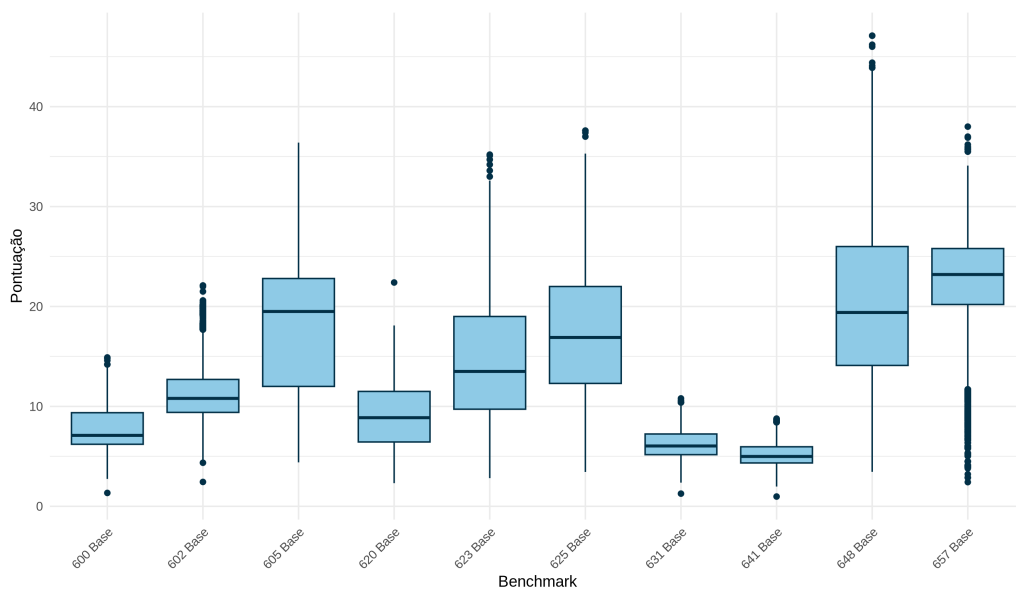
Fonte: os autores

O coeficiente de variação (c.v.) varia desde 21,7% para '631' até 44,9% para '623' e ainda de

18% para a 'Cache L1' até 143% para a 'Cache L3'. Para além de exprimir como a amplitude dos dados é significativa, esse resultado indica que existe uma diferença significativa no desempenho das máquinas de diferentes fabricantes/vendedores em relação à tarefas unitárias com um único núcleo (*core*) quando executados algoritmos que utilizam números inteiros (*int*).

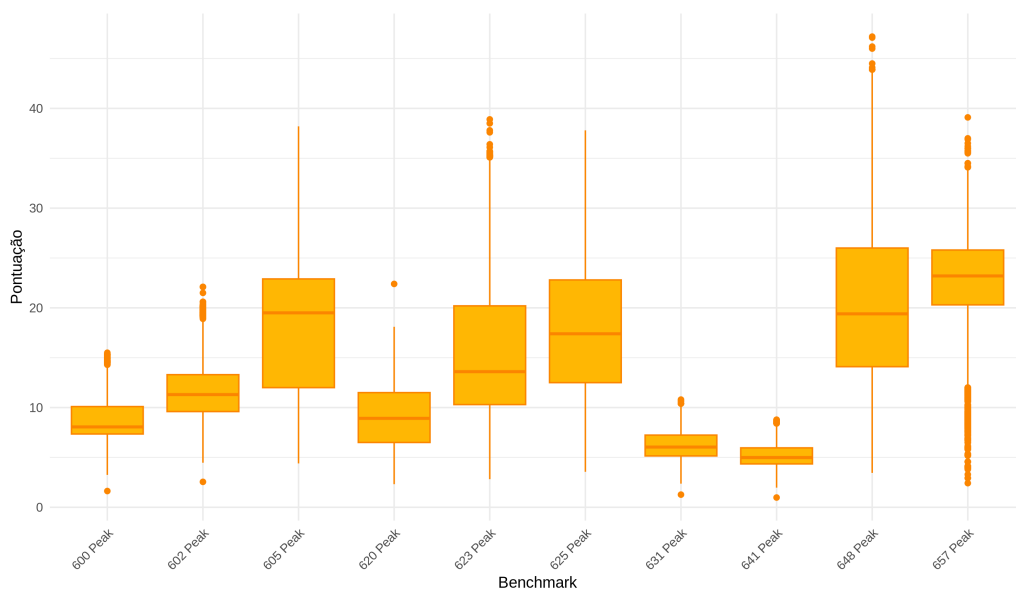
As figuras 1 e 2 corroboram graficamente as observações apresentas anteriormente. É fácil verificar como o comportamento das variáveis espelha-se entre *base* e *peak*. Como esperado, a partir dos resultados da tabela 4, as variáveis '631' e '641' apresentam a menor amplitude de variação também nos gráficos.

Figura 1: Comparação do desempenho dos *benchmarks* na condição *base*.



Fonte: os autores.

Figura 2: Comparação do desempenho dos *benchmarks* na condição *peak*.



Fonte: os autores.

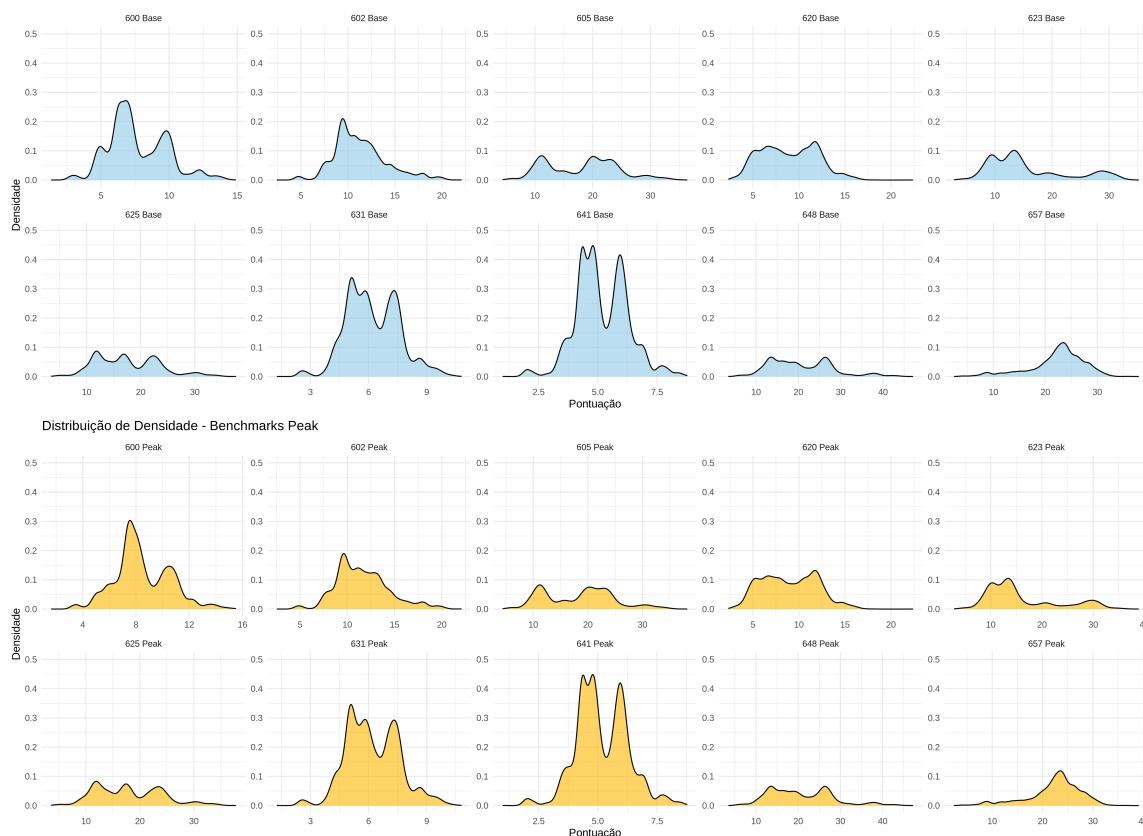
Este último caso possivelmente deve-se a flexibilidade da técnica de Monte Carlo para adaptar-se rapidamente em jogos, conforme pontuam Jung e Hoey (2025). Considerando que os fabricantes ofereceram bons hardwares, pode-se supor que a arquitetura possui um papel menor na execução desse tipo de *benchmark*.

Assumindo que os valores de mediana são representativos das distribuições, verifica-se que não houve ganho no tempo de execução para as variáveis '605' e '631' a '657' (em ordem). O desempenho otimizado é inferior a 5% para '602', inferior a 3% para '625' e inferior a 1% para '620' e '623', mas aproximadamente 12% para '600'.

Foge ao escopo deste trabalho uma análise mais aprofundada das configurações de otimização da microarquitetura, porém, os resultados acima apontam que o impacto é muito pequeno ou até desprezível para a maioria dos *benchmarks*.

As curvas de densidade para as variáveis do estudo são apresentadas na figura 3 e corroboram as inferências realizadas até o momento. Conforme já comentado, não existe uma tendência global, porém, os resultados para *peak* praticamente mimetizam o comportamento das *bases*.

Figura 3: Curvas de densidade para as variáveis do estudo.

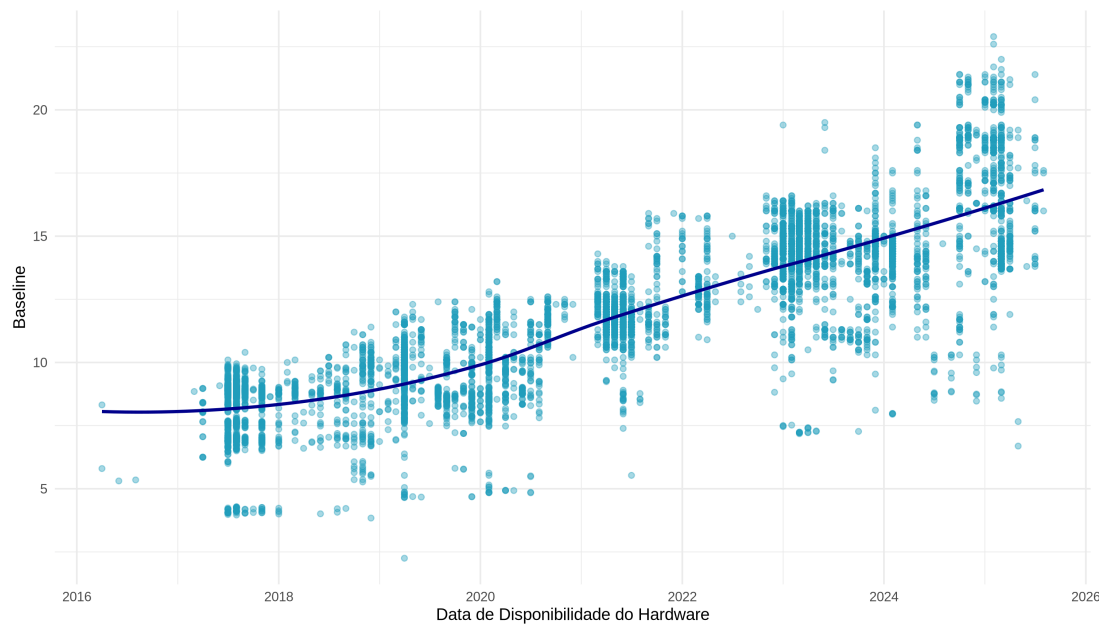


Fonte: os autores.

A figura 4 ilustra a evolução da variável *baseline*, que corresponde ao desempenho médio dos *benchmarks*, ao longo dos anos desde 2016 até 2025 (o último dado é do 3º trimestre de 2025). A linha em azul escuro serve como uma guia e auxilia na identificação de uma tendência crescente. Embora haja uma dispersão significativa a cada ano, representada pelos pontos azuis empilhados, a tendência predominante é de aumento. Esse fenômeno é esperado, sobretudo, em virtude da

evolução contínua dos sistemas computacionais e da redução dos custos com componentes de arquitetura.

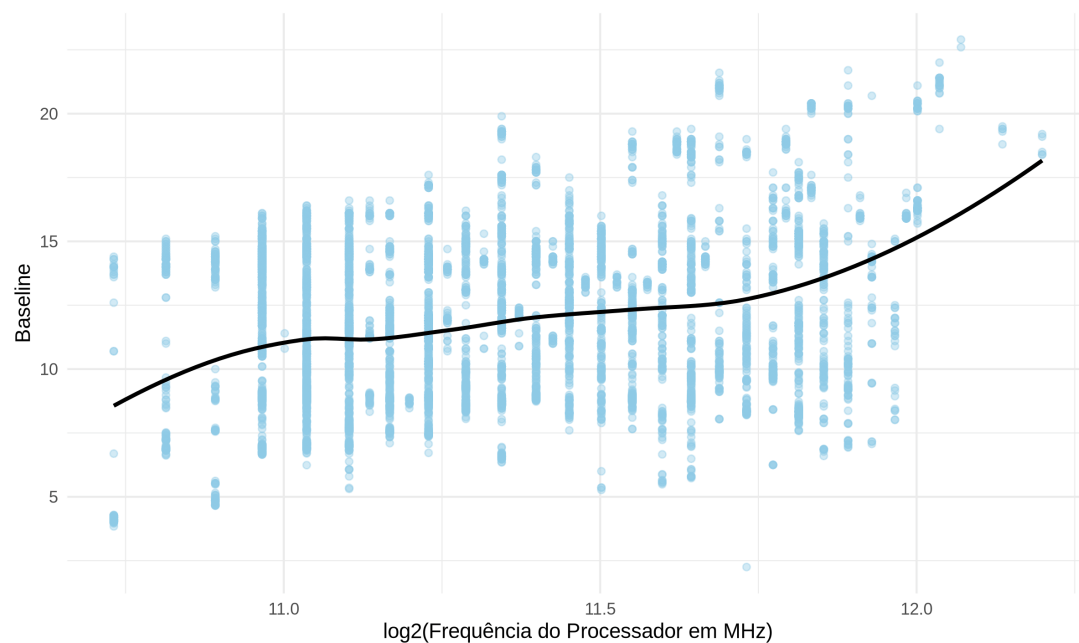
Figura 4: Curvas de densidade para as variáveis do estudo.



Fonte: os autores.

A partir da figura 5 é possível notar que a pontuação do `Baseline` aumenta com a frequência do processador. A frequência representa quantos ciclos de clock a CPU é capaz de executar por segundo. Logo, o resultado do gráfico é esperado, entretanto, cabe ressaltar que o comportamento não é linear. Na faixa de 2 GHz a 3.4 GHz, a pontuação do `Baseline` apresenta um aumento bastante pequeno (1.0 a 1.5 pontos), contudo, a partir deste último ponto a os dados demonstram um tendência crescente intensa (> 5.0 pontos).

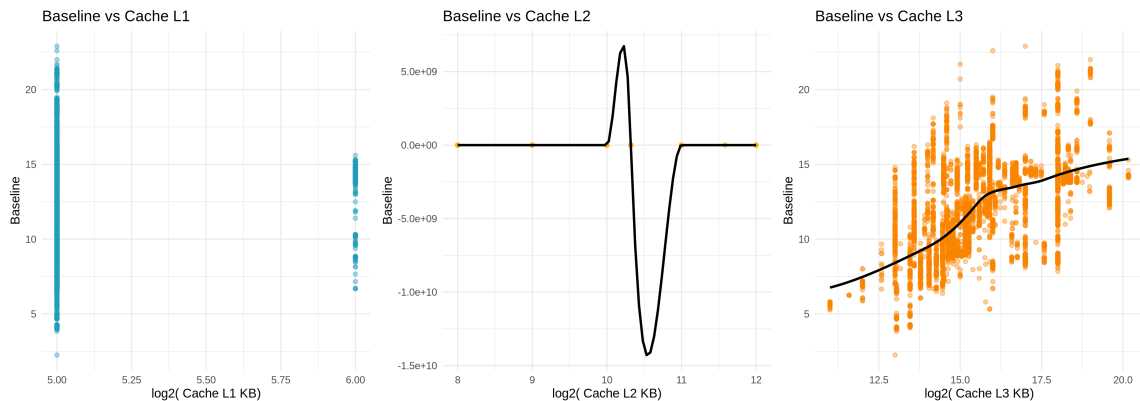
Figura 5: Desempenho x processador.



Fonte: os autores.

Hennessy e Patterson (2017) discutem que outros fatores importantes devem ser considerados junto com a frequência como memória e tamanho da cache. Como pode ser visto na figura 6 as memórias caches L1 e L2 utilizadas possuem pouca amplitude de valores, sobretudo, quando comparadas com a cache L3. Assim, é difícil extrair algumas tendência a partir das L1 e L2. A cache L3, no entanto, parece impactar o desempenho dos benchmarks, especialmente na faixa entre 2 MB e 75 MB. Stallings (2021) discute que investir numa cache L2 maior costuma gerar melhores resultados do que na L1 ou na L3, todavia, para as arquiteturas utilizadas nos testes com speed-int só é possível inferir mais claramente com respeito à L3 e seu efeito é positivo.

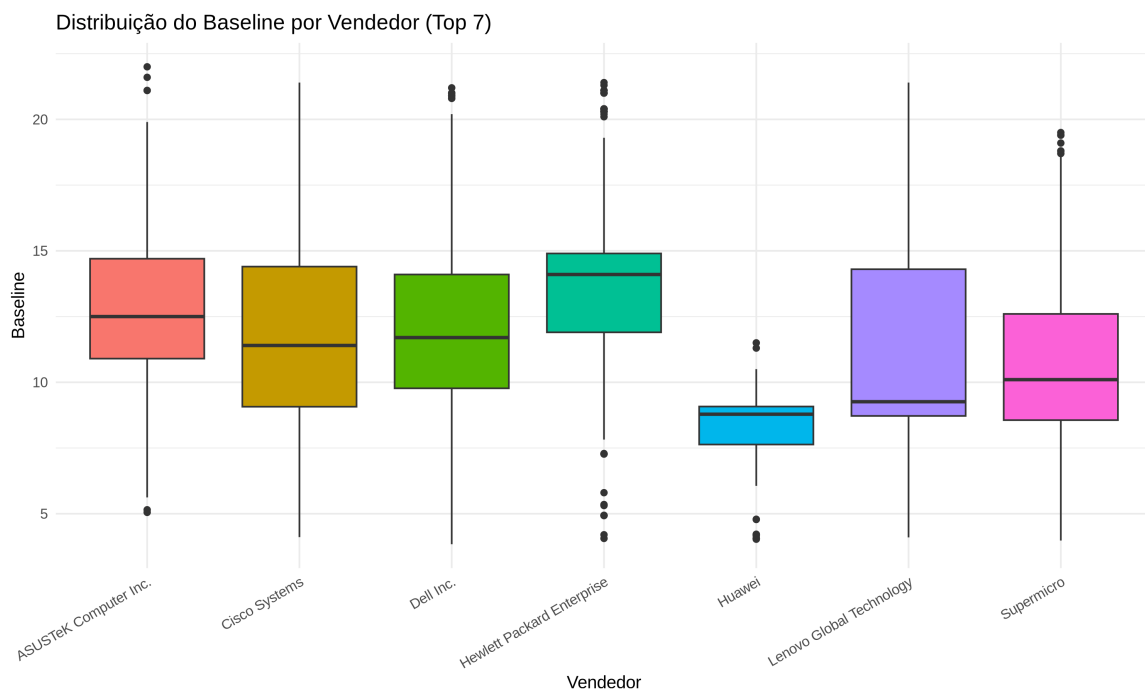
Figura 6: Desempenho x capacidade das memórias cache.



Fonte: os autores.

O dataset estudado é composto por algumas dezenas de vendedores. Dessa forma, foi gerada uma lista desses vendedores em ordem decrescente de hardwares fornecidos e selecionados os 07 primeiros para analisar seu desempenho global. Os resultados constam na figura 7.

Figura 7: Comparação do desempenho por fabricante.



Fonte: os autores.

Os servidores disponibilizados pela Hewlett Packard (HP) destacam-se pela proximidade da mediana em relação ao Q75 e também pelas pontuações mais elevadas, ficando a frente de outras fabricantes famosas como ASUS, Cisco e Dell. Na outra ponta, a Huawei mostra que ainda possui um horizonte de crescimento acentuado em relação às demais empresas.

Considerações finais

Neste trabalho foi realizada uma análise estatística para o dataset da SPEC CPU 2017 no que diz respeito aos algoritmos de `speed-int`. Foram calculadas estatísticas descritivas e os dados de pontuação de desempenho foram analisados em conjunto com dados da arquitetura dos sistemas testados.

Os resultados revelaram que a média é uma boa medida da tendência central para as variáveis analisadas, porém, os valores de pontuação oscilaram em até 44,9%, o que demonstra uma disparidade acentuada entre o desempenho para diferentes hardwares. Além disso, existe pouca diferença entre os resultados para as condições `base` e `peak`.

A análise do ganho de desempenho com a otimização da microarquitetura dos sistemas computacionais mostrou que o aprimoramento é muito pequeno ou desprezível para a maior parte dos algoritmos testados, apresentando ganho real apenas para a execução do compilador Perl (`benchmark '600'`).

O desempenho dos sistemas tende a aumentar com o acréscimo na frequência do processador, sobretudo, valores maiores do 3.4 GHz, e também para memórias caches maiores, com destaque para a memória cache L3, mas ainda assim, menos expressivo acima de 75 MB.

Existe uma disparidade entre os resultados dos principais fabricantes/vendedores dos sistemas computacionais fornecidos para os testes que deram origem ao dataset. A Hewlett Packard ocupa posição de destaque, a frente de outras competidoras globais também bem estabelecidas, enquanto a Huawei ocupa a última posição entre os sete maiores vendedores.

Referências bibliográficas

Referências

- HENNESSY, J. L.; PATTERSON, D. A. *Computer Architecture: A Quantitative Approach*. 6. ed. Amsterdam, Netherlands: Morgan Kaufmann, 2017.
- JUNG, J. D. A.; HOEY, J. Extending heuristic knowledge transfer for general game playing. *IEEE Transactions on Games*, IEEE, p. 1–12, 2025.
- KOUNEV, S.; LANGE, K.; KISTOWSKI, J. von. The spec cpu benchmark suite. In: *Systems Benchmarking*. [S.l.]: Springer, Cham, 2020, (Lecture Notes in Computer Science, v. 978). p. 231–250.
- LIMAYE, A.; ADEGBIJA, T. A workload characterization of the spec cpu2017 benchmark suite. In: *Proceedings of the 2018 IEEE International Symposium on Performance Analysis of Systems and Software (ISPASS 2018)*. Belfast, Northern Ireland, UK: IEEE, 2018. p. 149–158. Document IEEE 8366949.

MAGALHÃES, M. N.; LIMA, A. C. P. *Noções de Probabilidade e Estatística*. 8. ed. São Paulo: edUSP, 2025.

Posit. *RStudio IDE – Open Source*. 2025. Disponível em: <<https://posit.co/products/open-source/rstudio/>>.

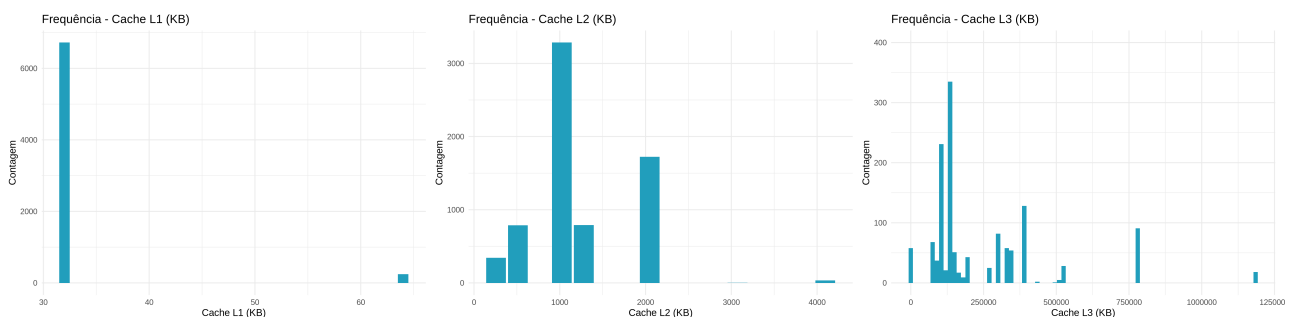
STALLINGS, W. *Computer Organization and Architecture: Designing for Performance*. 11. ed. Harlow, England: Pearson Education, 2021. Global Edition.

Standard Performance Evaluation Corporation (SPEC). *SPEC CPU@2017 Overview / What's New?* 2024. Disponível em: <<https://www.spec.org/cpu2017/Docs/overview.html#Q1>>.

TRIOLA, M. F. *Elementary Statistics*. 14. ed. Boston: Pearson, 2021.

Anexos

Figura 8: Histogramas das variáveis de cache (L1, L2 e L3).



Fonte: os autores.

```
1
2 #####
3 #PREPARA O DOS DADOS
4
5 #COLETANDO SOMENTE AS COLUNAS NECESSARIAS E LENDO O SPEED_int.csv
6
7 # Carregar pacotes necess rios
8 library(readr)
9 library(dplyr)
10 library(stringr)
11
12 # Ler o arquivo original
13 speed_raw <- read_csv("SPEED_int.csv")
14
15 # Verificar nomes das colunas
16 colnames(speed_raw)
17
18 # Selecionar colunas de interesse + removendo aqueles Baseline == 0
19 speed_clean <- speed_raw |>
20   filter(Baseline != 0, Result != 0) |>
21   filter(
22     if_all(
23       c(
24         "600 Peak", "602 Peak", "605 Peak", "620 Peak",
25         "623 Peak", "625 Peak", "631 Peak", "641 Peak",
26         "648 Peak", "657 Peak"
```

```

27     ),
28     ~ .x != 0
29 )
30 ) |>
31
32 # Função auxiliar interna para extrair cache em KB
33 mutate(
34   cache_l1_kb = str_split(`1st Level Cache`, "\\s+") |>
35     lapply(function(x) {
36       valor <- suppressWarnings(as.numeric(x[[1]]))
37       unidade <- toupper(x[[2]])
38       if (is.na(valor) || is.na(unidade)) return(NA_real_)
39       if (unidade == "MB") return(valor * 1024)
40       if (unidade == "KB") return(valor)
41       return(NA_real_)
42     }) |> unlist(),
43
44   cache_l2_kb = str_split(`2nd Level Cache`, "\\s+") |>
45     lapply(function(x) {
46       valor <- suppressWarnings(as.numeric(x[[1]]))
47       unidade <- toupper(x[[2]])
48       if (is.na(valor) || is.na(unidade)) return(NA_real_)
49       if (unidade == "MB") return(valor * 1024)
50       if (unidade == "KB") return(valor)
51       return(NA_real_)
52     }) |> unlist(),
53
54   cache_l3_kb = str_split(`3rd Level Cache`, "\\s+") |>
55     lapply(function(x) {
56       valor <- suppressWarnings(as.numeric(x[[1]]))
57       unidade <- toupper(x[[2]])
58       if (is.na(valor) || is.na(unidade)) return(NA_real_)
59       if (unidade == "MB") return(valor * 1024)
60       if (unidade == "KB") return(valor)
61       return(NA_real_)
62     }) |> unlist()
63 ) |>
64
65 # Selecionar colunas finais
66 select(
67   `Hardware Vendor`, System, `# Cores`, `# Chips`, `# Enabled Threads Per Core`,
68   Processor, `Processor MHz`, `CPU(s) Orderable`,
69   Storage, `Operating System`, Compiler, `HW Avail`,
70   Result, Baseline,
71   `600 Peak`, `600 Base`, `602 Peak`, `602 Base`,
72   `605 Peak`, `605 Base`, `620 Peak`, `620 Base`,
73   `623 Peak`, `623 Base`, `625 Peak`, `625 Base`,
74   `631 Peak`, `631 Base`, `641 Peak`, `641 Base`,
75   `648 Peak`, `648 Base`, `657 Peak`, `657 Base`,
76   `Tested By`, `Test Sponsor`,
77   cache_l1_kb, cache_l2_kb, cache_l3_kb
78 )
79
80 # CLASSIFICANDO AS VARIÁVEIS

```

```

81 speed_clean <- speed_clean |>
82   mutate(
83     # --- Qualitativas nominais ---
84     `Hardware Vendor` = as.factor(`Hardware Vendor`),
85     System = as.factor(System),
86     Processor = as.factor(Processor),
87     `CPU(s) Orderable` = as.factor(`CPU(s) Orderable`),
88     Storage = as.factor(Storage),
89     `Operating System` = as.factor(`Operating System`),
90     Compiler = as.factor(Compiler),
91     `Tested By` = as.factor(`Tested By`),
92     `Test Sponsor` = as.factor(`Test Sponsor`),
93
94     # --- Qualitativas ordinais (datas) ---
95     `HW Avail` = parse_date(`HW Avail`, format = "%b-%Y"),
96
97     # --- Quantitativas discretas ---
98     `# Cores` = as.integer(`# Cores`),
99     `# Chips` = as.integer(`# Chips`),
100    `# Enabled Threads Per Core` = as.integer(`# Enabled Threads Per Core`),
101
102    # --- Quantitativas cont nuas (numeric) ---
103    `Processor MHz` = as.numeric(`Processor MHz`),
104    Result = as.numeric(Result),
105    Baseline = as.numeric(Baseline),
106
107    `600 Peak` = as.numeric(`600 Peak`),
108    `600 Base` = as.numeric(`600 Base`),
109    `602 Peak` = as.numeric(`602 Peak`),
110    `602 Base` = as.numeric(`602 Base`),
111    `605 Peak` = as.numeric(`605 Peak`),
112    `605 Base` = as.numeric(`605 Base`),
113    `620 Peak` = as.numeric(`620 Peak`),
114    `620 Base` = as.numeric(`620 Base`),
115    `623 Peak` = as.numeric(`623 Peak`),
116    `623 Base` = as.numeric(`623 Base`),
117    `625 Peak` = as.numeric(`625 Peak`),
118    `625 Base` = as.numeric(`625 Base`),
119    `631 Peak` = as.numeric(`631 Peak`),
120    `631 Base` = as.numeric(`631 Base`),
121    `641 Peak` = as.numeric(`641 Peak`),
122    `641 Base` = as.numeric(`641 Base`),
123    `648 Peak` = as.numeric(`648 Peak`),
124    `648 Base` = as.numeric(`648 Base`),
125    `657 Peak` = as.numeric(`657 Peak`),
126    `657 Base` = as.numeric(`657 Base`),
127
128    cache_l1_kb = as.numeric(cache_l1_kb),
129    cache_l2_kb = as.numeric(cache_l2_kb),
130    cache_l3_kb = as.numeric(cache_l3_kb)
131  )
132
133 ##testes
134 summary(speed_clean)

```

```

135 glimpse(speed_clean)
136
137
138 #####
139
140 #INICIO DA ANALISE
141
142 #CRIACAO E ESCRITA DA TABELA COM ESTATISTICAS DESCRITIVAS NA PASTA tabela_e_graficos
143
144 library(dplyr)
145 library(tidyr)
146
147 # Identificar colunas de benchmark (todas terminam com Base ou Peak e come am com 6)
148 bench_cols <- grep("^6\\d{2} (Base|Peak)$", names(speed_clean), value = TRUE)
149
150 # Juntar colunas de interesse: benchmarks + hardware
151 colunas_estatisticas <- c(
152   grep("^6\\d{2} (Base|Peak)$", names(speed_clean), value = TRUE),
153   "Processor MHz", "cache_l1_kb", "cache_l2_kb", "cache_l3_kb"
154 )
155
156 # Criar tabela descritiva
157 resumo_completo <- speed_clean |>
158   select(all_of(colunas_estatisticas)) |>
159   pivot_longer(cols = everything(), names_to = "variavel", values_to = "valor") |>
160   group_by(variavel) |>
161   summarise(
162     media = mean(valor, na.rm = TRUE),
163     mediana = median(valor, na.rm = TRUE),
164     variancia = var(valor, na.rm = TRUE),
165     desvio_padrao = sd(valor, na.rm = TRUE),
166     q25 = quantile(valor, 0.25, na.rm = TRUE),
167     q75 = quantile(valor, 0.75, na.rm = TRUE),
168     minimo = min(valor, na.rm = TRUE),
169     maximo = max(valor, na.rm = TRUE),
170     .groups = "drop"
171   ) |>
172   arrange(variavel)
173
174 # Criar pasta se n o existir
175 if (!dir.exists("tabelas_e_graficos")) {
176   dir.create("tabelas_e_graficos")
177 }
178
179 # Salvar a tabela de resumo como CSV
180 readr::write_csv(resumo_completo, "tabelas_e_graficos/resumo_completo.csv")
181
182 #-----
183 # Criando dois gr ficos , cada gr fico mostrar boxplots por benchmark
184
185 library(ggplot2)
186 library(tidyr)
187 library(dplyr)
188 library(readr)

```

```

189
190 # Identificar colunas Base e Peak
191 col_base <- grep("^6\\d{2} Base$", names(speed_clean), value = TRUE)
192 col_peak <- grep("^6\\d{2} Peak$", names(speed_clean), value = TRUE)
193
194 # Preparar os dados em formato longo (long format)
195 dados_base <- speed_clean |>
196   select(all_of(col_base)) |>
197   pivot_longer(cols = everything(), names_to = "benchmark", values_to = "valor")
198
199 dados_peak <- speed_clean |>
200   select(all_of(col_peak)) |>
201   pivot_longer(cols = everything(), names_to = "benchmark", values_to = "valor")
202
203 # Gráfico Base
204 grafico_base <- ggplot(dados_base, aes(x = benchmark, y = valor)) +
205   geom_boxplot(fill = "#8ecae6", color = "#023047") +
206   labs(
207     title = "Distribuição dos Benchmarks - Condição Base",
208     x = "Benchmark",
209     y = "Pontuação"
210   ) +
211   theme_minimal() +
212   theme(axis.text.x = element_text(angle = 45, hjust = 1))
213
214 # Gráfico Peak
215 grafico_peak <- ggplot(dados_peak, aes(x = benchmark, y = valor)) +
216   geom_boxplot(fill = "#ffb703", color = "#fb8500") +
217   labs(
218     title = "Distribuição dos Benchmarks - Condição Peak",
219     x = "Benchmark",
220     y = "Pontuação"
221   ) +
222   theme_minimal() +
223   theme(axis.text.x = element_text(angle = 45, hjust = 1))
224
225 # Criar pasta se necessário
226 if (!dir.exists("tabelas_e_graficos")) {
227   dir.create("tabelas_e_graficos")
228 }
229
230 # Salvar os gráficos como imagens
231 ggsave("tabelas_e_graficos/boxplot_base.png", grafico_base, width = 10, height = 6)
232 ggsave("tabelas_e_graficos/boxplot_peak.png", grafico_peak, width = 10, height = 6)
233
234 #-----
235 #relacionando desempenho do Baseline com frequência, e níveis de cache
236
237 library(ggplot2)
238 library(patchwork) # Para juntar gráficos
239
240 # Criar gráfico para cada variável explicativa
241 p1 <- ggplot(speed_clean, aes(x = `Processor MHz`, y = Baseline)) +
242   geom_point(alpha = 0.5) +

```



```

243 geom_smooth(method = "lm", se = FALSE, color = "blue") +
244 labs(title = "Baseline vs Processor MHz") +
245 theme_minimal()
246
247 p2 <- ggplot(speed_clean, aes(x = cache_l1_kb, y = Baseline)) +
248 geom_point(alpha = 0.5) +
249 geom_smooth(method = "lm", se = FALSE, color = "darkgreen") +
250 labs(title = "Baseline vs Cache L1 (KB)") +
251 theme_minimal()
252
253 p3 <- ggplot(speed_clean, aes(x = cache_l2_kb, y = Baseline)) +
254 geom_point(alpha = 0.5) +
255 geom_smooth(method = "lm", se = FALSE, color = "purple") +
256 labs(title = "Baseline vs Cache L2 (KB)") +
257 theme_minimal()
258
259 p4 <- ggplot(speed_clean, aes(x = cache_l3_kb, y = Baseline)) +
260 geom_point(alpha = 0.5) +
261 geom_smooth(method = "lm", se = FALSE, color = "red") +
262 labs(title = "Baseline vs Cache L3 (KB)") +
263 theme_minimal()
264
265 # Juntar os 4 gr ficos
266 (p1 | p2) / (p3 | p4)
267
268 ggsave("tabelas_e_graficos/baseline_vs_hardware.png", (p1 | p2) / (p3 | p4), width =
      12, height = 8)
269
270 library(tibble)
271 # Calcular a matriz de correla o de Pearson
272 correlacao <- speed_clean |>
273   select(Baseline, `Processor MHz`, cache_l1_kb, cache_l2_kb, cache_l3_kb) |>
274   cor(use = "complete.obs", method = "pearson")
275
276 # Transformar a matriz em data frame para salvar
277 correlacao_df <- as.data.frame(correlacao) |>
278   rownames_to_column(var = "Variavel")
279
280 # Garantir que a pasta exista
281 if (!dir.exists("tabelas_e_graficos")) {
282   dir.create("tabelas_e_graficos")
283 }
284
285 # Salvar a matriz como CSV
286 readr::write_csv(correlacao_df, "tabelas_e_graficos/pearson_baseline_vs_cpu.csv")
287
288 #-----
289 #adicionando:
290 #Gr fico 1: mediana do Baseline por semestre (HW Avail)
291 #Gr fico 2: gr fico de dispers o com Baseline ao longo do tempo
292
293 library(lubridate)
294
295 # Criar coluna de semestre

```

```

296 speed_clean <- speed_clean |>
297   mutate(semester = paste0(year(`HW Avail`), "-S", if_else(month(`HW Avail`) <= 6,
298     "1", "2")))
299 # Gráfico 1: Mediana por semestre
300 grafico_mediana_tempo <- speed_clean |>
301   group_by(semester) |>
302   summarise(media_base = median(Baseline, na.rm = TRUE), .groups = "drop") |>
303   ggplot(aes(x = semester, y = media_base, group = 1)) +
304   geom_line(color = "steelblue", linewidth = 1.2) +
305   geom_point(color = "steelblue", size = 2) +
306   labs(
307     title = "Evolução da Mediana do Baseline por Semestre",
308     x = "Semestre",
309     y = "Mediana do Baseline"
310   ) +
311   theme_minimal() +
312   theme(axis.text.x = element_text(angle = 45, hjust = 1))
313
314 # Gráfico 2: Dispersão de Baseline ao longo do tempo
315 grafico_dispersao_tempo <- ggplot(speed_clean, aes(x = `HW Avail`, y = Baseline)) +
316   geom_point(alpha = 0.4, color = "#219ebc") +
317   geom_smooth(method = "loess", se = FALSE, color = "darkblue") +
318   labs(
319     title = "Dispersão do Baseline ao Longo do Tempo",
320     x = "Data de Disponibilidade do Hardware",
321     y = "Baseline"
322   ) +
323   theme_minimal()
324
325 # Salvar os gráficos
326 ggsave("tabelas_e_graficos/baseline_mediana_semestre.png", grafico_mediana_tempo,
327   width = 10, height = 6)
328 ggsave("tabelas_e_graficos/baseline_dispersao_tempo.png", grafico_dispersao_tempo,
329   width = 10, height = 6)
330
331 #-----
332 #baseline vs cache
333
334 library(ggplot2)
335 library(patchwork)
336
337 # Função para adicionar log2 no eixo x
338 cache_plot <- function(cache_var, cache_label, color) {
339   ggplot(speed_clean, aes(x = log2(!sym(cache_var)), y = Baseline)) +
340     geom_point(alpha = 0.4, color = color) +
341     geom_smooth(method = "loess", se = FALSE, color = "black") +
342     labs(
343       title = paste("Baseline vs", cache_label),
344       x = paste("log2(", cache_label, "KB)",
345       y = "Baseline"
346     ) +
347     theme_minimal()
348   }

```

```

347
348 # Criar os 3 gráficos
349 g1 <- cache_plot("cache_l1_kb", "Cache L1", "#219ebc")
350 g2 <- cache_plot("cache_l2_kb", "Cache L2", "#ffb703")
351 g3 <- cache_plot("cache_l3_kb", "Cache L3", "#fb8500")
352
353 # Juntar os três gráficos lado a lado
354 grafico_caches <- g1 | g2 | g3
355
356 # Mostrar e salvar
357 print(grafico_caches)
358 ggsave("tabelas_e_graficos/baseline_vs_caches_log2.png", grafico_caches, width = 14,
359         height = 5)
360
361 #-----
362 # Gráfico: Baseline vs Processor MHz (com eixo log2)
363
364 grafico_frequencia <- ggplot(speed_clean, aes(x = log2(`Processor MHz`), y =
365         Baseline)) +
366     geom_point(alpha = 0.4, color = "#8ecae6") +
367     geom_smooth(method = "loess", se = FALSE, color = "black") +
368     labs(
369         title = "Baseline vs Processor MHz (Escala log2)",
370         x = "log2(Frequência do Processador em MHz)",
371         y = "Baseline"
372     ) +
373     theme_minimal()
374
375 # Exibir
376 print(grafico_frequencia)
377
378 # Salvar
379 ggsave("tabelas_e_graficos/baseline_vs_processor_mhz_log2.png", grafico_frequencia,
380         width = 8, height = 5)
381
382 #-----
383 #quantidade de sistemas por Hardware Vendor
384 #Selecionar os top 7 vendedores
385 #Filtrar o speed_clean apenas com esses vendedores
386 #Calcular estatísticas descritivas do Baseline por vendedor
387 #Criar um boxplot comparativo para analisar variações
388
389 library(dplyr)
390 library(ggplot2)
391 library(readr)
392
393 # 1. Identificar os top 7 vendedores
394 top_vendedores <- speed_clean |>
395     count(`Hardware Vendor`, sort = TRUE) |>
396     slice_head(n = 7) |>
397     pull(`Hardware Vendor`)
398
399 # 2. Filtrar dados apenas com os top vendedores
400 dados_vendedores <- speed_clean |>

```

```

398   filter(`Hardware Vendor` %in% top_vendedores)
399
400 # 3. Calcular estatísticas descritivas por vendedor
401 estatisticas_vendedores <- dados_vendedores |>
402   group_by(`Hardware Vendor`) |>
403   summarise(
404     media = mean(Baseline, na.rm = TRUE),
405     mediana = median(Baseline, na.rm = TRUE),
406     desvio_padrao = sd(Baseline, na.rm = TRUE),
407     q25 = quantile(Baseline, 0.25, na.rm = TRUE),
408     q75 = quantile(Baseline, 0.75, na.rm = TRUE),
409     minimo = min(Baseline, na.rm = TRUE),
410     maximo = max(Baseline, na.rm = TRUE),
411     n = n(),
412     .groups = "drop"
413   )
414
415 # 4. Salvar a tabela
416 readr::write_csv(estatisticas_vendedores,
417   "tabelas_e_graficos/estatisticas_top_vendedores.csv")
418
419 # 5. Criar boxplot do Baseline por vendedor
420 grafico_vendedores <- ggplot(dados_vendedores, aes(x = `Hardware Vendor`, y =
421   Baseline, fill = `Hardware Vendor`)) +
422   geom_boxplot(show.legend = FALSE) +
423   labs(
424     title = "Distribuição do Baseline por Vendedor (Top 7)",
425     x = "Vendedor",
426     y = "Baseline"
427   ) +
428   theme_minimal() +
429   theme(axis.text.x = element_text(angle = 30, hjust = 1))
430
431 # Exibir e salvar
432 print(grafico_vendedores)
433 ggsave("tabelas_e_graficos/boxplot_baseline_por_vendedor.png", grafico_vendedores,
434   width = 10, height = 6)
435
436 # -----
437 # análise de densidade, peak e base, para cada benchmark
438
439 library(ggplot2)
440 library(tidyr)
441 library(patchwork)
442
443 # 1. Selecionar colunas
444 bench_cols_base <- grep("^6\\d{2} Base$", names(speed_clean), value = TRUE)
445 bench_cols_peak <- grep("^6\\d{2} Peak$", names(speed_clean), value = TRUE)
446
447 # 2. Long format
448 dados_base <- speed_clean |>
449   select(all_of(bench_cols_base)) |>
450   pivot_longer(everything(), names_to = "benchmark", values_to = "valor") |>
451   mutate(tipo = "Base")

```

```

449
450 dados_peak <- speed_clean |>
451   select(all_of(bench_cols_peak)) |>
452   pivot_longer(everything(), names_to = "benchmark", values_to = "valor") |>
453   mutate(tipo = "Peak")
454
455 # 3. Juntar
456 dados_benchmarks <- bind_rows(dados_base, dados_peak)
457
458 # 4. Função para gráfico de densidade individual
459 plot_density <- function(df, tipo_filtro, y_lim = 0.5) {
460   df |>
461     filter(tipo == tipo_filtro) |>
462     ggplot(aes(x = valor)) +
463     geom_density(fill = ifelse(tipo_filtro == "Base", "#8ecae6", "#ffb703"), alpha =
464       0.6) +
465     facet_wrap(~benchmark, scales = "free", ncol = 5) +
466     labs(
467       title = paste("Distribuição de Densidade - Benchmarks", tipo_filtro),
468       x = "Pontuação",
469       y = "Densidade"
470     ) +
471     coord_cartesian(ylim = c(0, y_lim)) + # substitui ylim()
472     theme_minimal()
473 }
474
475 # 5. Criar os dois painéis
476 plot_base <- plot_density(dados_benchmarks, "Base")
477 plot_peak <- plot_density(dados_benchmarks, "Peak")
478
479 # 6. Juntar (4 linhas: 2 base + 2 peak)
480 painel_densidade <- plot_base / plot_peak
481
482 # 7. Salvar
483 ggsave("tabelas_e_graficos/densidade_benchmarks_base_peak.png", painel_densidade,
484        width = 16, height = 12)
485
486 # -----
487 # histogramas (em gráficos de barra) para as variáveis de cache
488 library(ggplot2)
489 library(patchwork)
490
491 # Histograma L1 - Barras finas
492 hist_l1 <- ggplot(speed_clean, aes(x = cache_l1_kb)) +
493   geom_bar(fill = "#219ebc", width = 1) +
494   labs(title = "Frequência - Cache L1 (KB)", x = "Cache L1 (KB)", y = "Contagem") +
495   theme_minimal()
496
497 # Histograma L2 - Padrão
498 hist_l2 <- ggplot(speed_clean, aes(x = cache_l2_kb)) +
499   geom_bar(fill = "#219ebc") +
500   labs(title = "Frequência - Cache L2 (KB)", x = "Cache L2 (KB)", y = "Contagem") +
501   theme_minimal()

```

```

501 # Histograma L3 - Base mais larga e barras mais grossas, limite do eixo y
502 hist_l3 <- ggplot(speed_clean, aes(x = cache_l3_kb)) +
503   geom_histogram(binwidth = 15000, fill = "#219ebc", width = 150000) +
504   ylim(0, 400) +
505   labs(title = "Frequência - Cache L3 (KB)", x = "Cache L3 (KB)", y = "Contagem") +
506   theme_minimal()
507
508 # Juntar e salvar
509 (hist_l1 | hist_l2 | hist_l3)
510
511 ggsave("tabelas_e_graficos/histogramas_cache_final.png", (hist_l1 | hist_l2 |
    hist_l3), width = 20, height = 5)

```